

V. 地震以外に起因する津波の評価

1. 発電所周辺陸域における地すべり

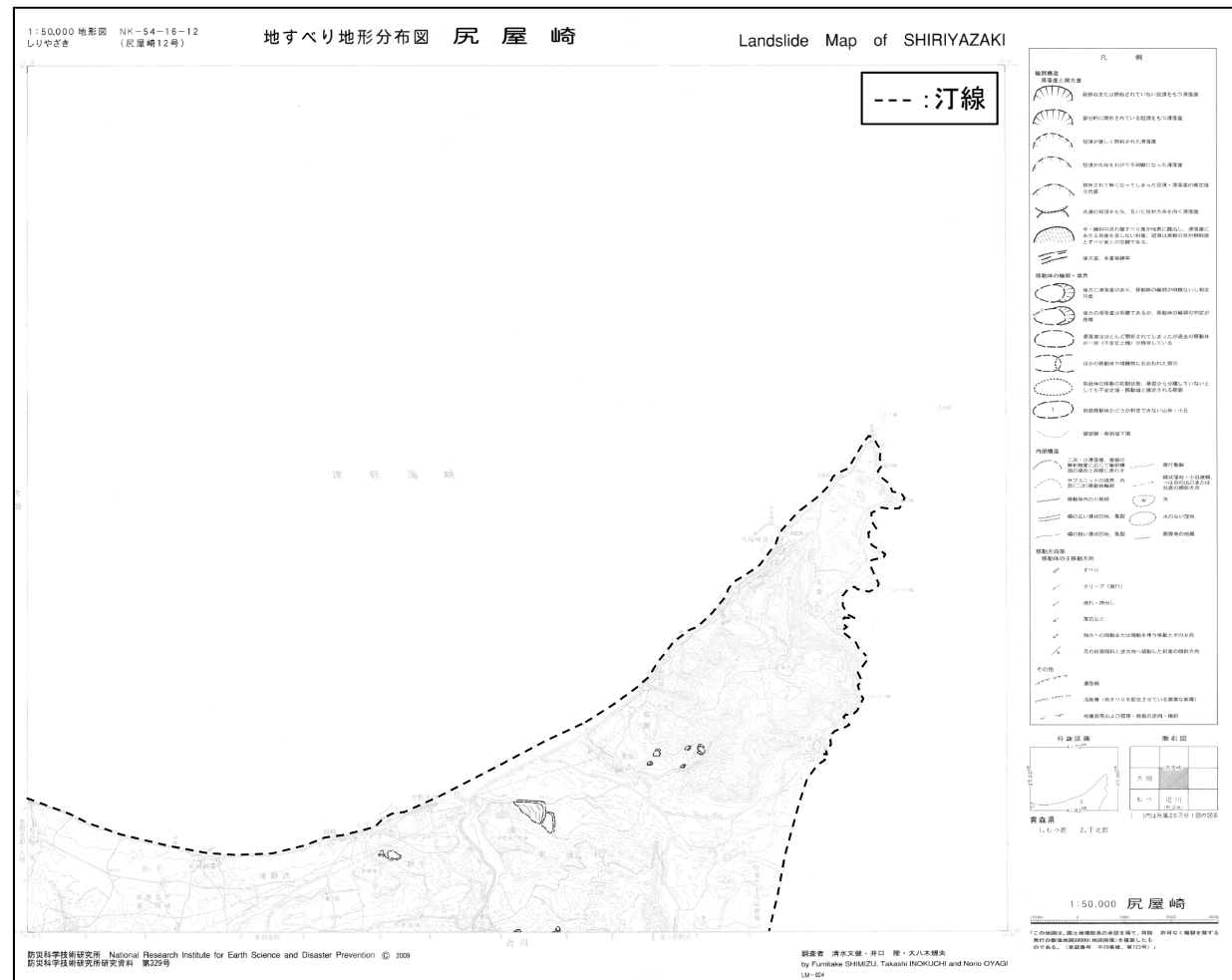
- 1. 1 尻屋崎
- 1. 2 陸奥横浜
- 1. 3 平沼

V. 地震以外に起因する津波の評価 1. 発電所敷地周辺陸域における地すべり

1.1 尻屋崎

【函館】	大間 OMA LM-826	【尻屋崎】			
	佐井 SAI LM-827	大畑 OHATA LM-825	尻屋崎 SHIRIYAZAKI LM-824		
【野辺地】		むつ MUTSU LM-832	近川 CHIKAGAWA LM-828		
			陸奥横浜 MUTSUYOKOHAMA LM-829		
		野辺地 NOHEJI LM-833	平沼 HIRANUMA LM-830		
		七戸 SHICHINOHE LM-834	三沢 MISAWA LM-831		
【八戸】		十和田 TOWADA LM-844	八戸 HACHINOHE LM-840	八戸東部 HACHINOHETOBU (地すべり地形なし)	
		田子 TAKKO LM-845	三戸 SANNOHE LM-841	随上岳 HASHIKAMIDAKE LM-837	
		浄法寺 JOBOJI LM-846	一戸 ICHIHOHE LM-842	随中大野 RIKUCHUONO LM-838	久慈 KUJI LM-835
		荒屋 ARAYA LM-847	葛巻 KUZUMAKI LM-843	随中間 RIKUCHUSEKI LM-839	随中野田 RIKUCHUNODA LM-836

防災科学技術研究所(2009)
(一部加筆)



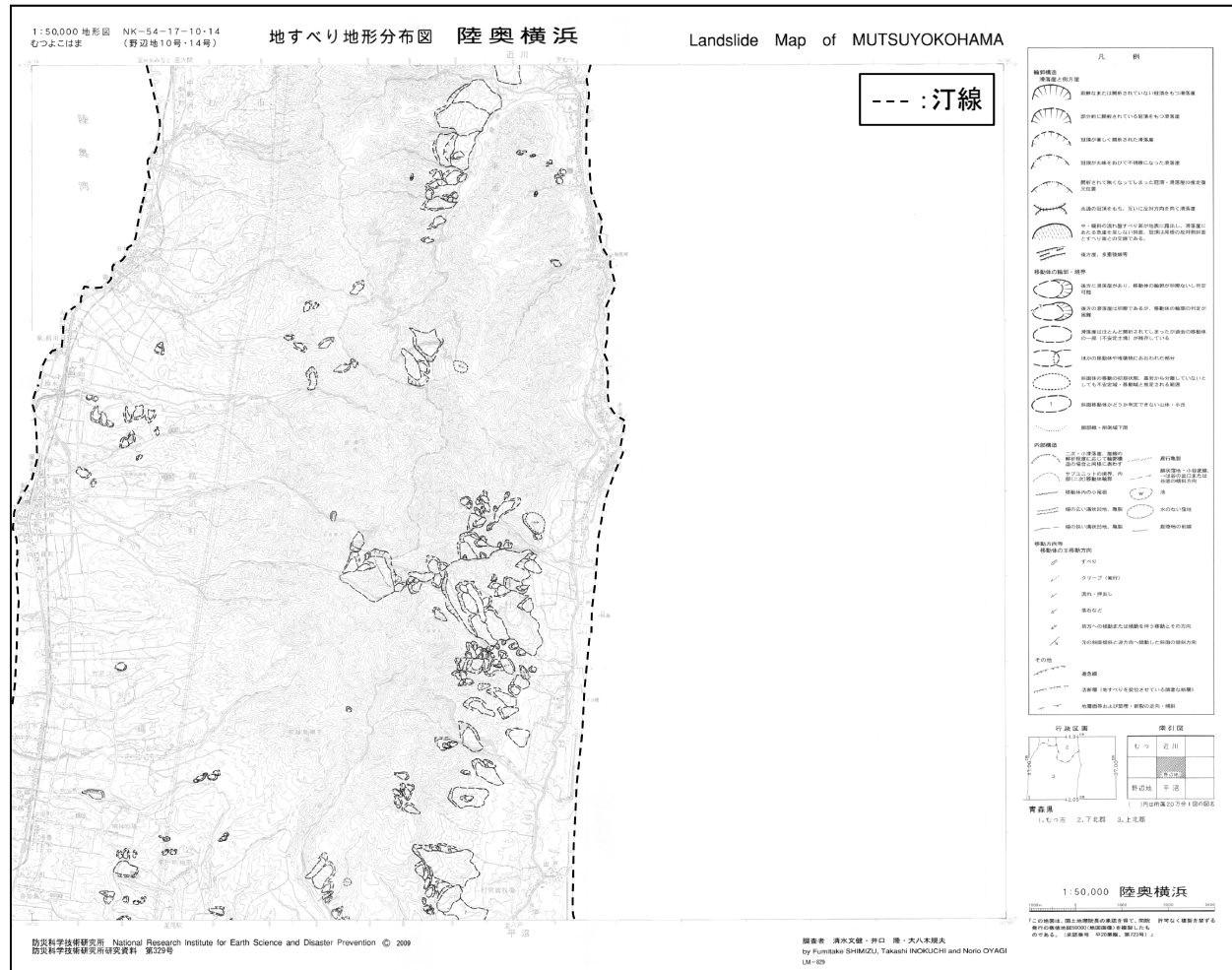
(防災科学技術研究所(2009)に一部加筆)

V. 地震以外に起因する津波の評価 1. 発電所敷地周辺陸域における地すべり

1.2 陸奥横浜

【函館】	大間 OMA LM-826	【尻屋崎】	
	佐井 SAI LM-827	大畑 OHATA LM-825	尻屋崎 SHIRIYAZAKI LM-824
【野辺地】	むつ MUTSU LM-832	近川 CHIKAGAWA LM-828	陸奥横浜 MUTSUYOKOHAMA LM-829
	野辺地 NOHEJI LM-833	平沼 HIRANUMA LM-830	
	七戸 SHICHINOHE LM-834	三沢 MISAWA LM-831	
【八戸】	十和田 TOWADA LM-844	八戸 HACHINOHE LM-840	八戸東部 HACHINOHETOBU (地すべり地形なし)
	田子 TAKKO LM-845	三戸 SANNOHE LM-841	随上岳 HASHIKAMIDAKE LM-837
	浄法寺 JOBOSHI LM-846	一戸 ICHIHOHE LM-842	随中大野 RIKUCHUONO LM-838
	荒屋 ARAYA LM-847	葛巻 KUZUMAKI LM-843	随中間 RIKUCHUSEKI LM-839
			随中野田 RIKUCHUNODA LM-836

防災科学技術研究所 (2009)
(一部加筆)



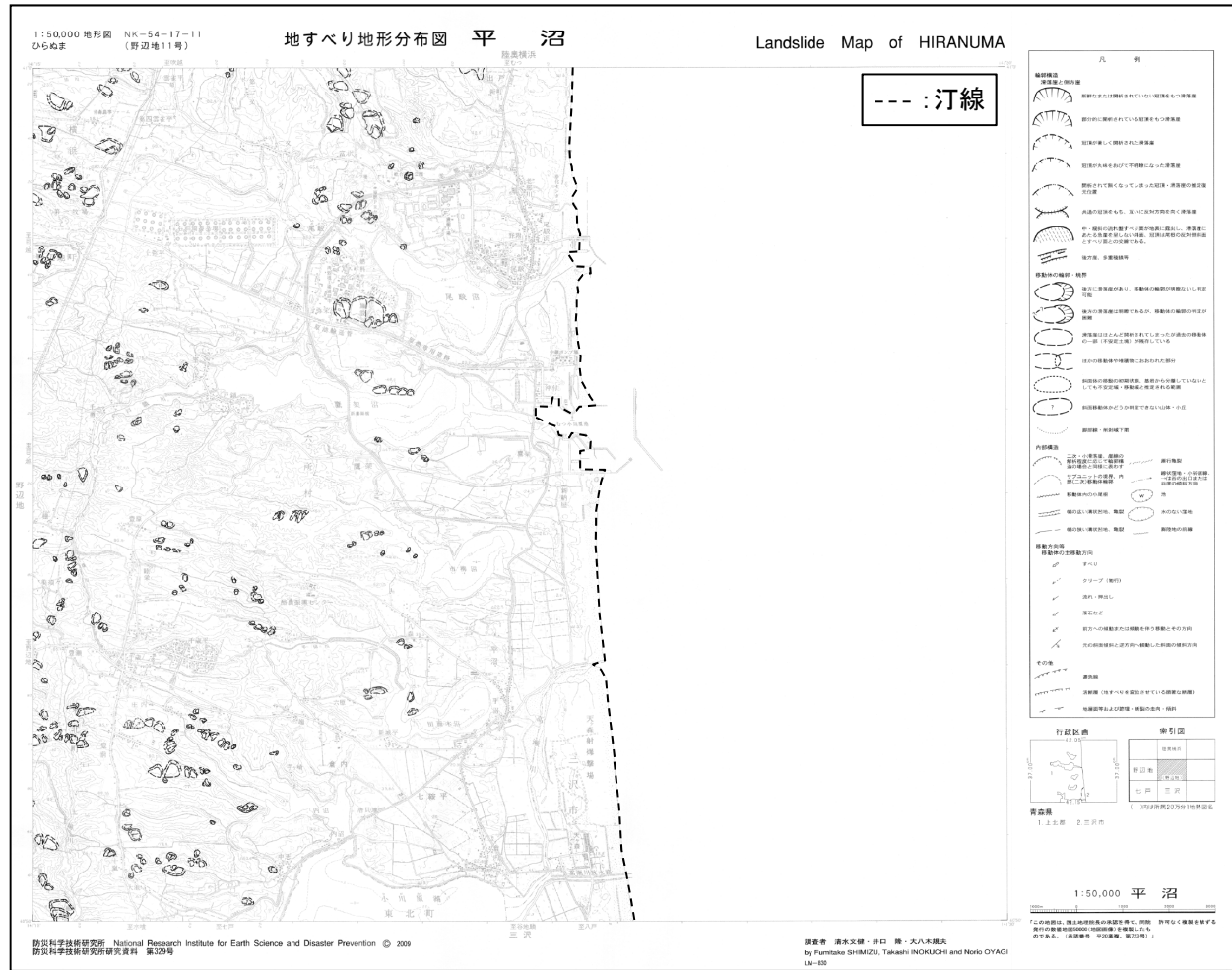
(防災科学技術研究所 (2009) に一部加筆)

V. 地震以外に起因する津波の評価 1. 発電所敷地周辺陸域における地すべり

1.3 平沼

【函館】	大間 OMA LM-826	【尻屋崎】	
	佐井 SAI LM-827	大畑 OHATA LM-825	尻屋崎 SHIRIYAZAKI LM-824
【野辺地】		むつ MUTSU LM-832	近川 CHIKAGAWA LM-828
		陸奥横浜 MUTSUYOKOHAMA LM-829	
	野辺地 NOHEJI LM-833	平沼 HIRANUMA LM-830	
【八戸】	七戸 SHICHINOHE LM-834	三沢 MISAWA LM-831	
	十和田 TOWADA LM-844	八戸 HACHINOHE LM-840	八戸東部 HACHINOHETOBU (地すべり地形なし)
	田子 TAKKO LM-845	三戸 SANNHOHE LM-841	随上岳 HASHIKAMIDAKE LM-837
	浄法寺 JOBOJI LM-846	一戸 ICHIHOHE LM-842	随中大野 RIKUCHUONO LM-838
			久慈 KUJI LM-835
	荒屋 ARAYA LM-847	葛巻 KUZUMAKI LM-843	随中間 RIKUCHUSEKI LM-839
		随中野田 RIKUCHUNODA LM-836	

防災科学技術研究所 (2009)
(一部加筆)



(防災科学技術研究所 (2009) に一部加筆)

V. 地震以外に起因する津波の評価

2. 下北太平洋側大陸棚外縁の海底地すべり

- 2. 1 海底地すべり:SLS-1
- 2. 2 海底地すべり:SLS-2
- 2. 3 海底地すべり:SLS-3
- 2. 4 海底地すべり:SLS-4

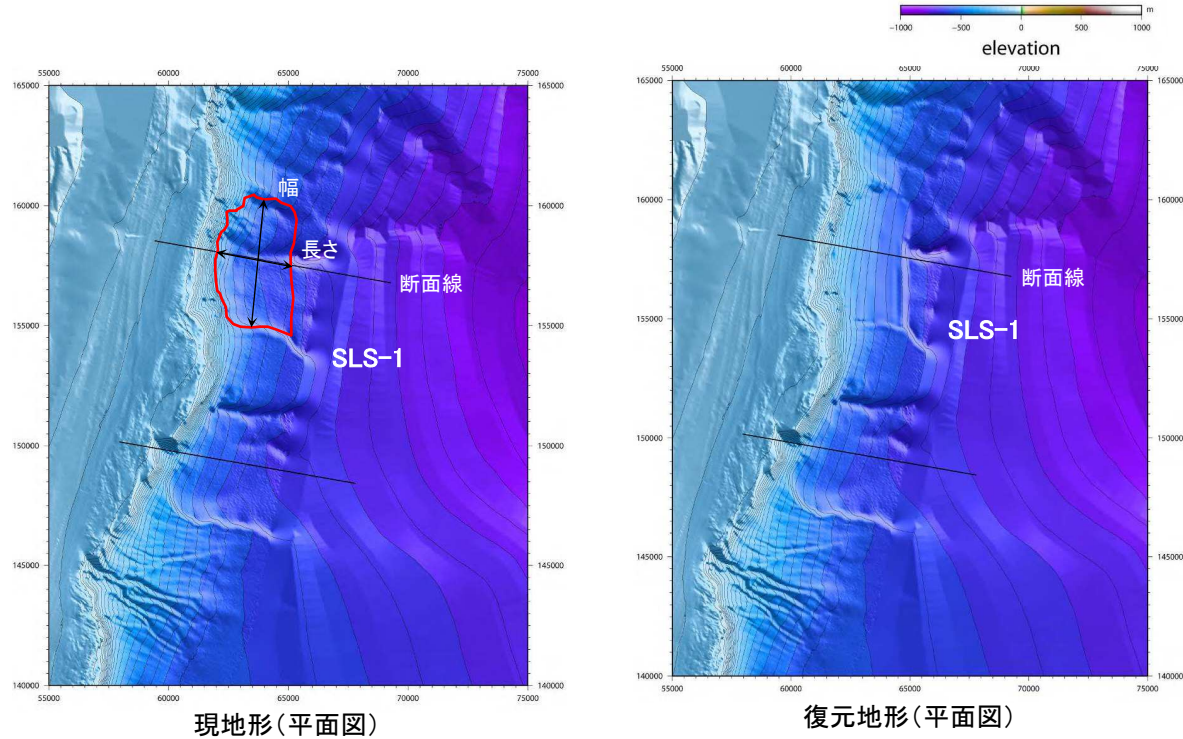
V. 地震以外に起因する津波の評価 2. 下北太平洋側大陸棚外縁の海底地すべり

2.1 海底地すべり:SLS-1

- 長さ, 幅, 面積については海底地形図(地すべり地形)から算定し, 比高, 厚さ及び体積については地すべり地形と地すべり周辺の海底地形(水深コンター)の関係から, 海底地すべり前の地形を復元し, 現地形と復元地形の差分から算定した。

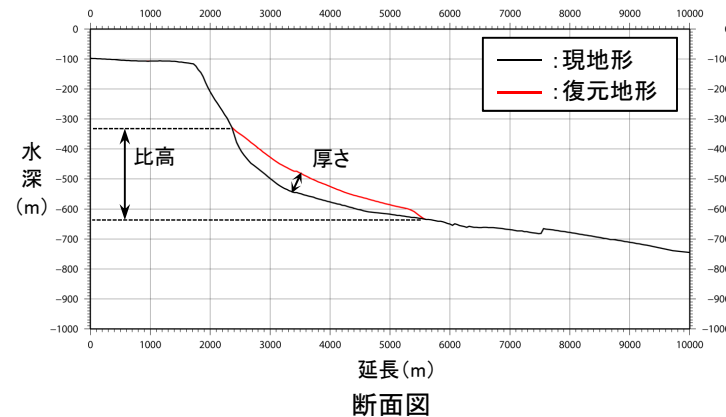
算定根拠

	SLS-1	算定根拠
長さ(m)	3000	海底地形図からの読み取り
幅(m)	5350	海底地形図からの読み取り
比高(m)	300	現地形と復元地形の差分から算定
厚さ(m)	50	現地形と復元地形の差分から算定
傾斜(°)	5.71	比高及び長さから算定
面積(km ²)	15.4	海底地形図からの読み取り
体積(km ³)	0.52	現地形と復元地形の差分から算定



現地形(平面図)

復元地形(平面図)



断面図

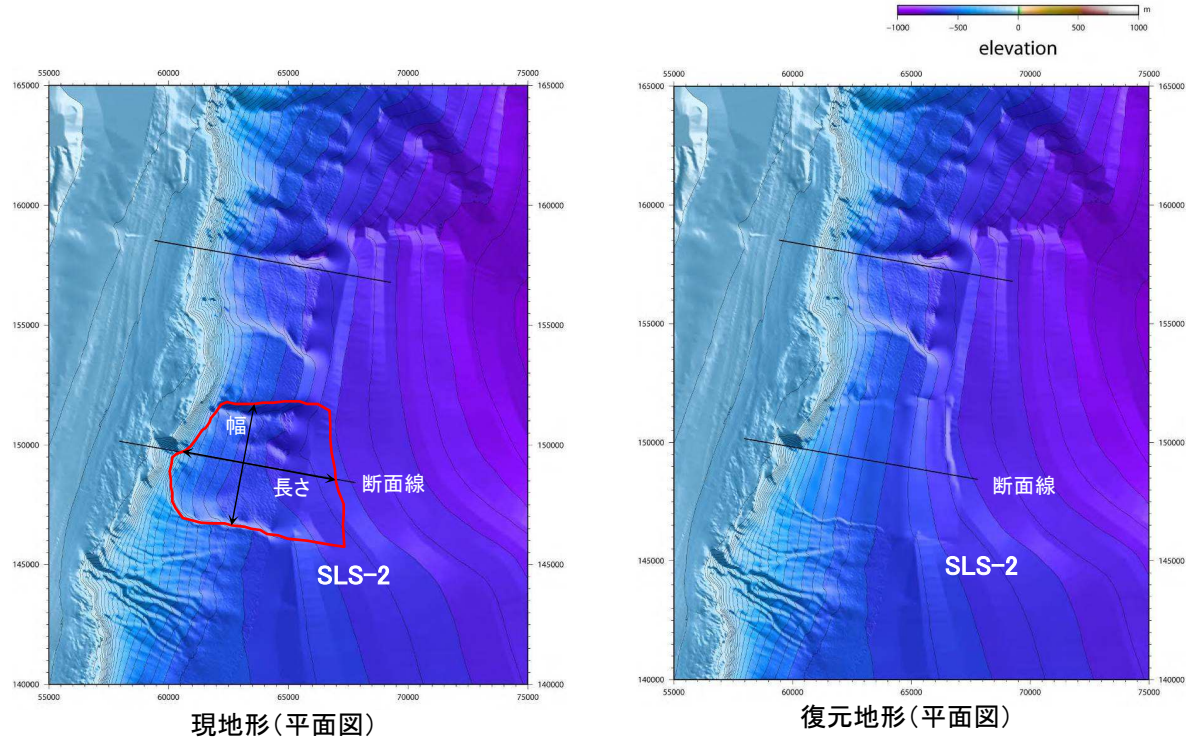
V. 地震以外に起因する津波の評価 2. 下北太平洋側大陸棚外縁の海底地すべり

2.2 海底地すべり:SLS-2

- 長さ, 幅, 面積については海底地形図(地すべり地形)から算定し, 比高, 厚さ及び体積については地すべり地形と地すべり周辺の海底地形(水深コンター)の関係から, 海底地すべり前の地形を復元し, 現地形と復元地形の差分から算定した。

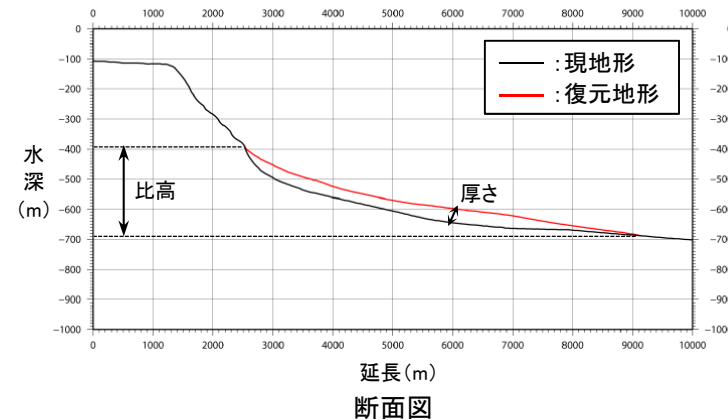
算定根拠

	SLS-2	算定根拠
長さ(m)	6000	海底地形図からの読み取り
幅(m)	5000	海底地形図からの読み取り
比高(m)	300	現地形と復元地形の差分から算定
厚さ(m)	50	現地形と復元地形の差分から算定
傾斜(°)	2.86	比高及び長さから算定
面積(km ²)	36.5	海底地形図からの読み取り
体積(km ³)	1.00	現地形と復元地形の差分から算定



現地形 (平面図)

復元地形 (平面図)



断面図

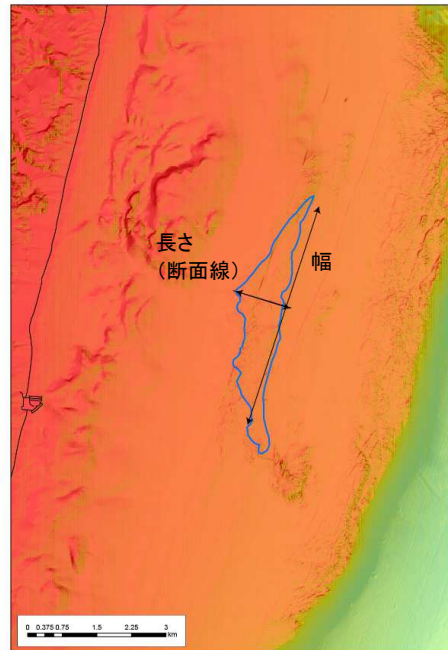
V. 地震以外に起因する津波の評価 2. 下北太平洋側大陸棚外縁の海底地すべり

2.3 海底地すべり:SLS-3

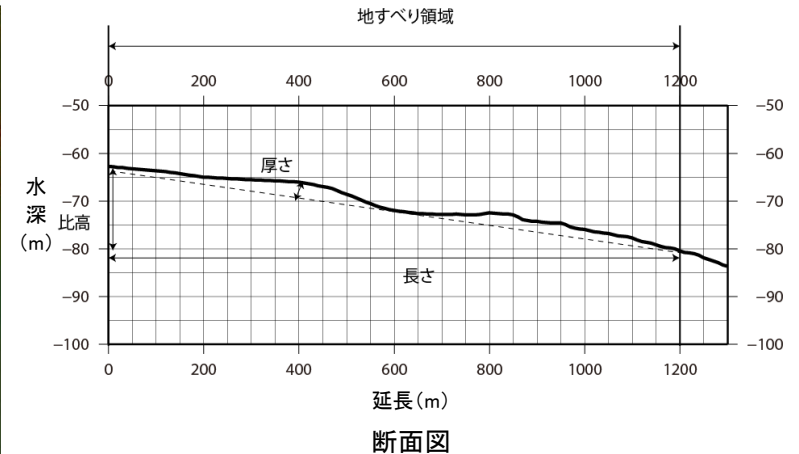
- 長さ, 幅, 比高, 面積については海底地形図(地すべり地形)から算定し, 厚さ, 体積についてはMcAdoo et al.(2000)による地すべり諸元の算定方法を参考に算定した。

算定根拠

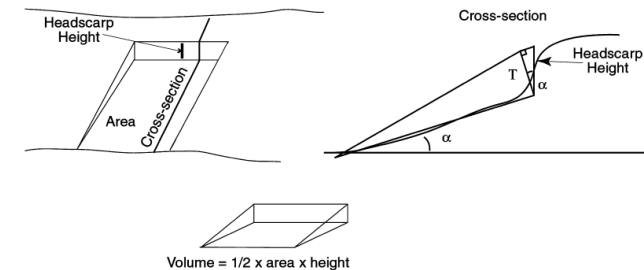
	SLS-3	算定根拠
長さ(m)	1200	海底地形図からの読み取り
幅(m)	5000	海底地形図からの読み取り
比高(m)	20	海底地形図からの読み取り
厚さ(m)	5	McAdoo et al.(2000)による地すべり諸元の算定方法を参考に算定
傾斜(°)	0.95	比高及び長さから算定
面積(km ²)	3.2	海底地形図からの読み取り
体積(km ³)	0.01	McAdoo et al.(2000)による地すべり諸元の算定方法を参考に算定



現地形(平面図)



【McAdoo et al.(2000)による地すべり諸元の算定方法】



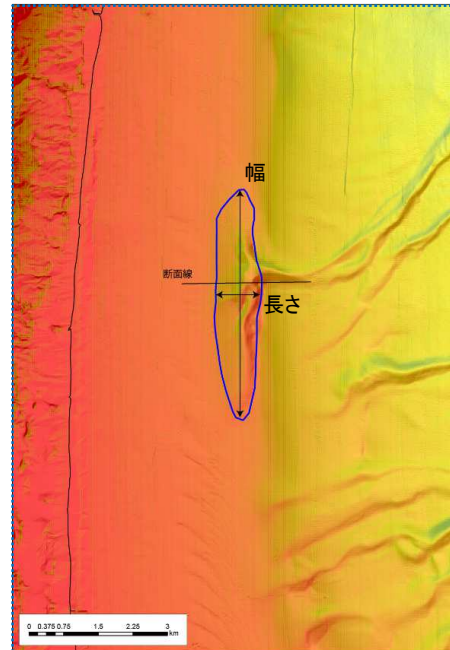
V. 地震以外に起因する津波の評価 2. 下北太平洋側大陸棚外縁の海底地すべり

2.4 海底地すべり:SLS-4

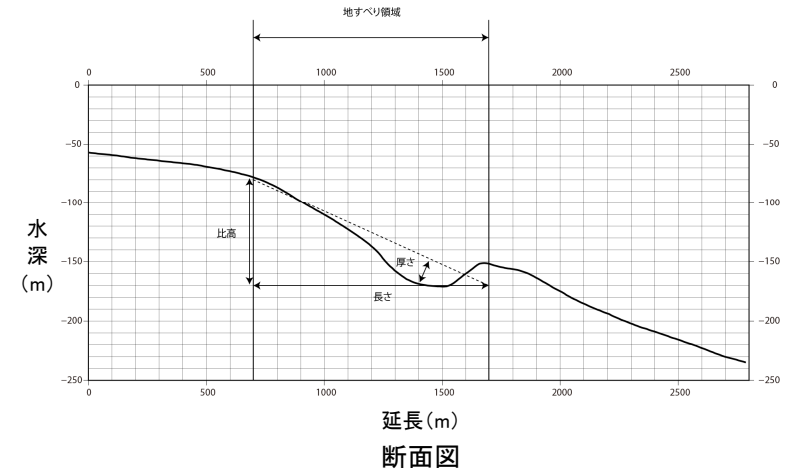
- 長さ, 幅, 比高, 面積については海底地形図(地すべり地形)から算定し, 厚さ, 体積についてはMcAdoo et al.(2000)による地すべり諸元の算定方法を参考に算定した。

算定根拠

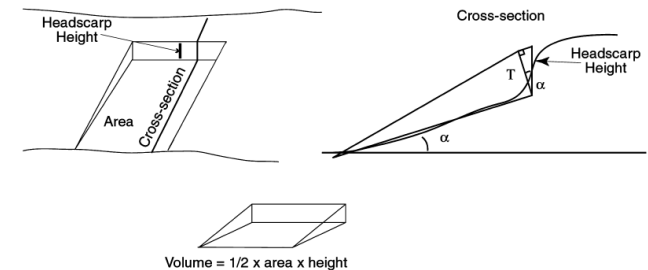
	SLS-4	算定根拠
長さ(m)	1000	海底地形図からの読み取り
幅(m)	5100	海底地形図からの読み取り
比高(m)	100	海底地形図からの読み取り
厚さ(m)	20	McAdoo et al.(2000)による地すべり諸元の算定方法を参考に算定
傾斜(°)	5.71	比高及び長さから算定
面積(km ²)	3.8	海底地形図からの読み取り
体積(km ³)	0.04	McAdoo et al.(2000)による地すべり諸元の算定方法を参考に算定



現地地形(平面図)



【McAdoo et al.(2000)による地すべり諸元の算定方法】



V. 地震以外に起因する津波の評価

3. 日高舟状海盆の海底地すべり

- 3. 1 浦河沖の海底地すべり
- 3. 2 尻屋崎沖の海底地すべり

V. 地震以外に起因する津波の評価

3. 日高舟状海盆の海底地すべり

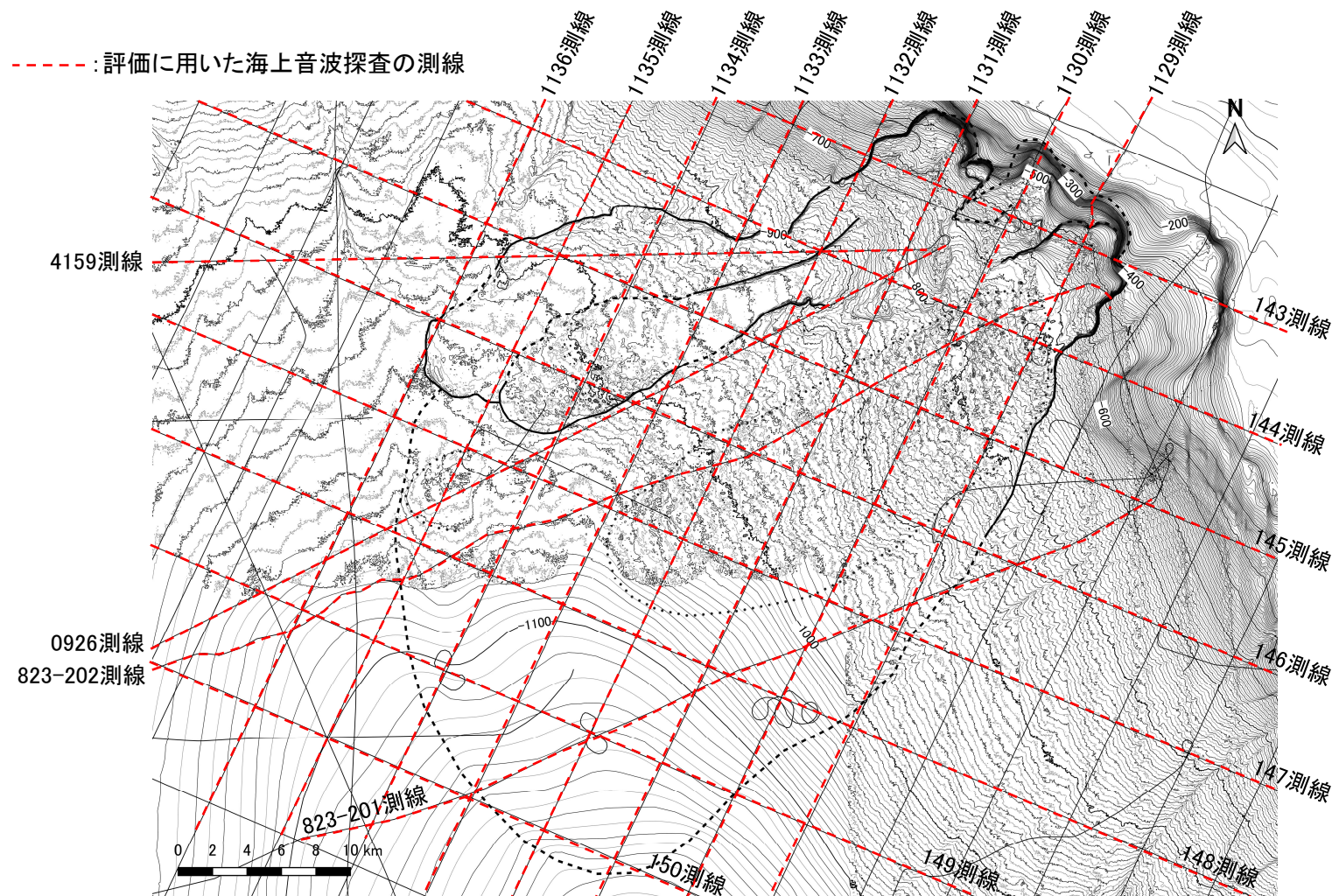
3. 1 浦河沖の海底地すべり

- 3. 1. 1 崩壊域, 堆積域及び海底地すべりのすべり面の推定に用いた海上音波探査の測線
- 3. 1. 2 崩壊域, 堆積域及び海底地すべりのすべり面の推定結果

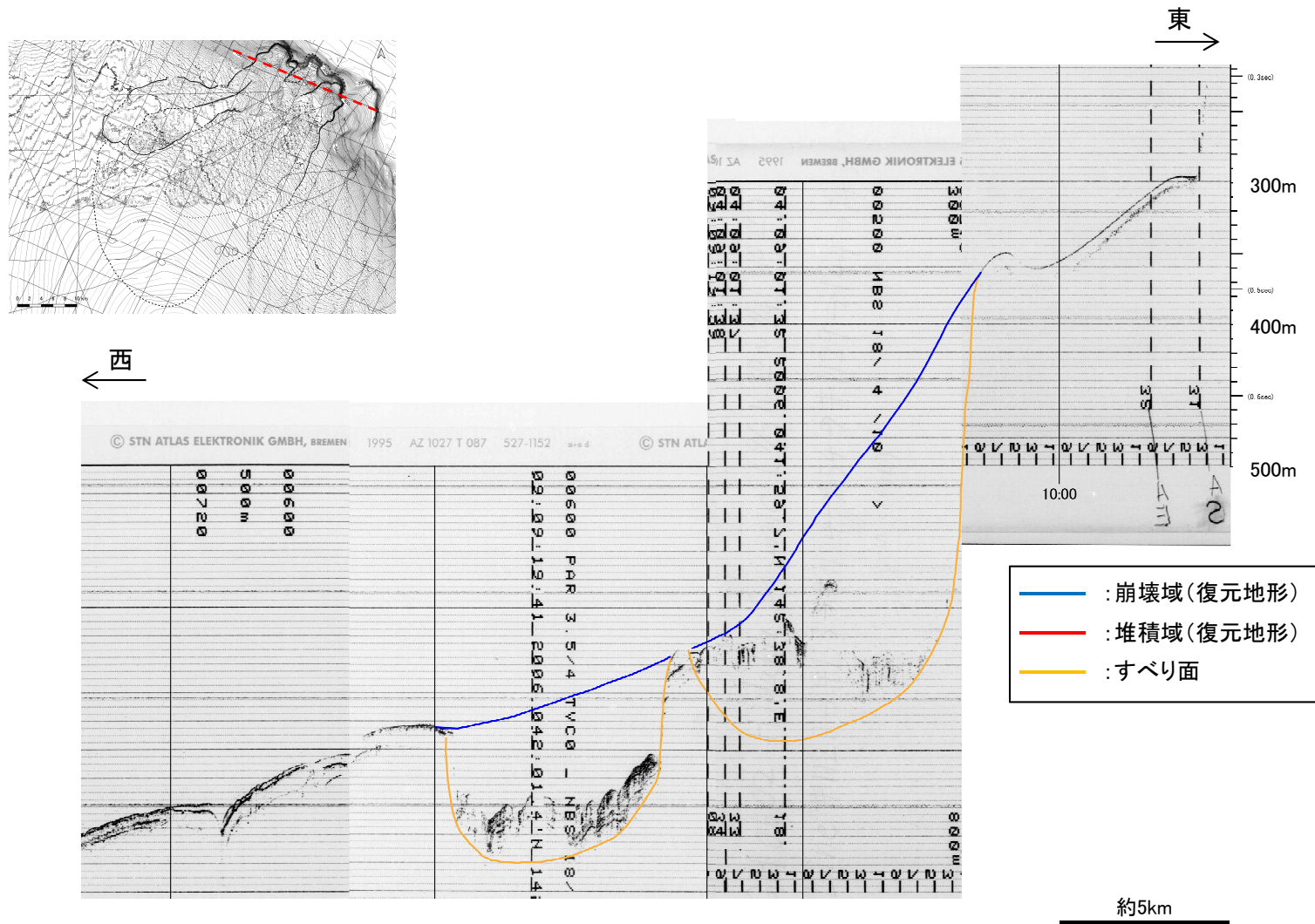
V. 地震以外に起因する津波の評価 3. 日高舟状海盆の海底地すべり 3.1 浦河沖の海底地すべり

3.1.1 崩壊域、堆積域及び海底地すべりのすべり面の推定に用いた海上音波探査の測線

- ・ 浦河沖の海底地すべり上の海上音波探査記録を用いて、崩壊域、堆積域及び海底地すべりのすべり面を推定した。
- ・ 評価に用いた海上音波探査の測線を以下に示す。

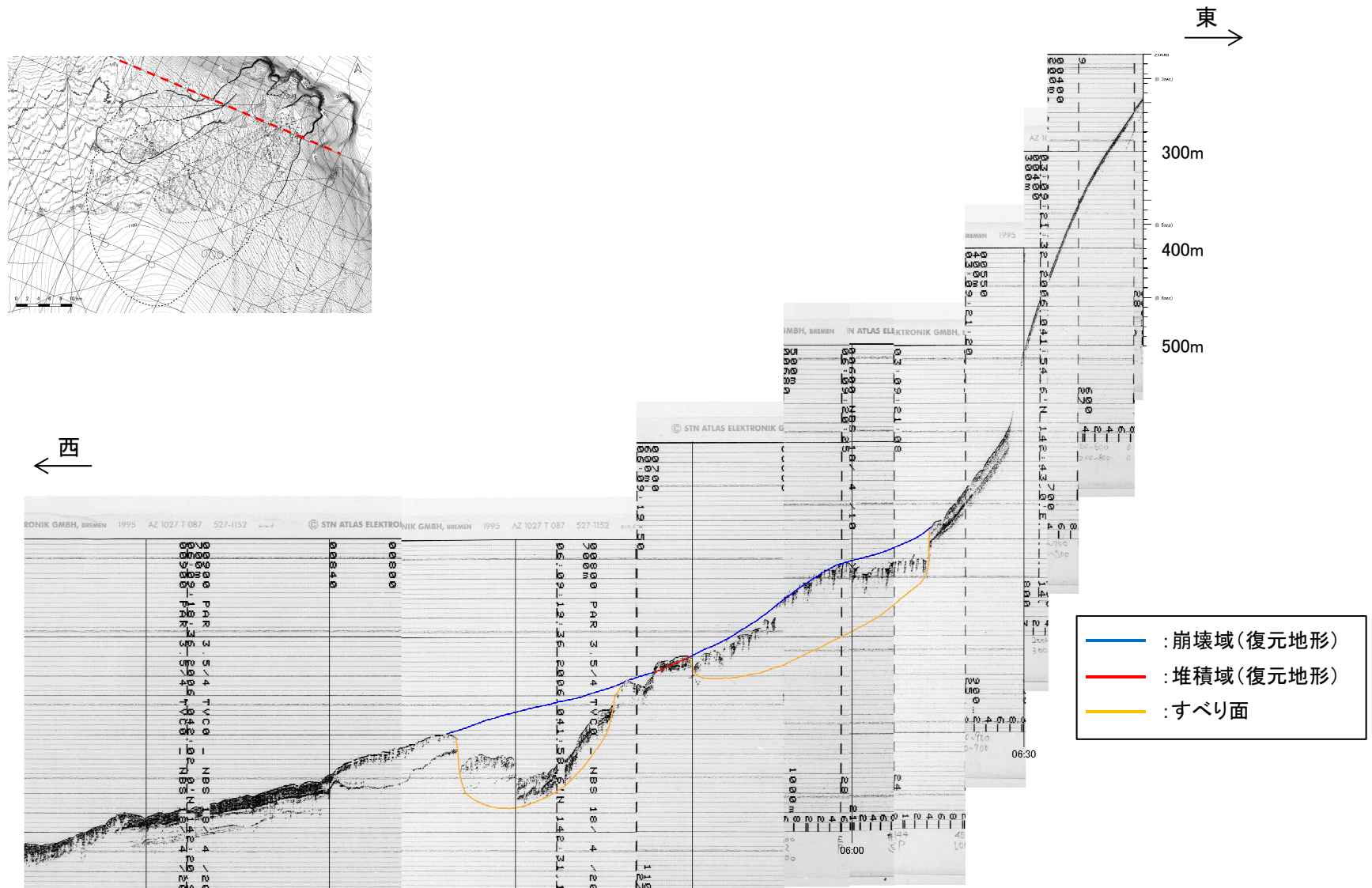


V. 地震以外に起因する津波の評価 3. 日高舟状海盆の海底地すべり 3.1 浦河沖の海底地すべり 3.1.2 崩壊域, 堆積域及び海底地すべりのすべり面の推定結果:143測線



143測線

V. 地震以外に起因する津波の評価 3. 日高舟状海盆の海底地すべり 3.1 浦河沖の海底地すべり 3.1.2 崩壊域, 堆積域及び海底地すべりのすべり面の推定結果:144測線



144測線

約5km